

**مقدمه**

ایجاد آسیب می‌باشد<sup>(۵)</sup>). در صورتی که در انجماد شیشه‌ای سمیت شیمیایی ضدیخ با غلظت بالا مانع مهمی است<sup>(۶)</sup>. نتایج نشان می‌دهد که به کارگیری روش‌های انجماد، علی‌رغم نقش غیرقابل انکار آنها در درمان افراد نابارور، به دلیل اثرات ضدیخ و تغییرات شدید برودتی و حرارتی می‌تواند تاثیرات نامطلوبی بر فراساختمان سلول داشته و باعث آسیب سلولی به طرق مختلف شود<sup>(۳)</sup>. از طرف دیگر مرگ سلولی برنامه‌ریزی شده که از نظر مورفولوژیکی آپوپتوز نامیده می‌شود<sup>(۷)</sup>، پدیده‌ای است که در تکامل رویانی با حذف سلول‌های ناخواسته نقش مهمی را ایفا می‌نماید و این پدیده تحت تاثیر عوامل مختلف می‌تواند دچار تغییر گردد<sup>(۸)</sup>. آپوپتوز یک شکل از مرگ سلولی است که توسط دو شاخص اصلی مشخص می‌شود. شاخص اول شامل ویژگی‌های مورفولوژیکی نظیر کاهش حجم سلول، متراکم شدن کروماتین، قطعه‌قطعه شدن<sup>۳</sup> هسته‌ای و در نهایت تشکیل اجسام آپوپوتیک است و شاخص دیگر، شکسته شدن<sup>۴</sup> DNA بوسیله یک اندونوکلئاز وابسته به یون کلسیم و منیزیوم به قطعات اولیگونوکلئوزومی است که امروزه از روشنی به نام TUNEL<sup>۵</sup> برای رنگ‌آمیزی سلول‌های آپوپوتیک به طور رایج استفاده می‌شود که در این روش انتهای قطعات DNA تولید شده بوسیله آنزیم دی‌اکسی ترانسفراز انتهایی (TDT)<sup>۶</sup> با نوکلئوتیدهای جدید تغییر داده شده (فلوئورسین-dUTP) جایگزین می‌شوند و بنابراین انتهای شکسته شده از قطعات DNA دو زنجیره‌ای، مستقل از زنجیره قالب نشان دار شده و سپس در زیر میکروسکوپ فلوئوروستن قابل رویت می‌شود<sup>(۹,۱۰)</sup>. در این روش حتی سلول‌های مراحل اولیه آپوپتوز نشان دار می‌شوند<sup>(۷)</sup>. ثابت شده است که این تکنیک در اندازه‌گیری کمی مرگ سلولی در جنین

در سال‌های اخیر پیشرفت‌های زیادی در علم کرایوبیولوژی<sup>۱</sup> برای حفظ جنین‌های حیوانی و انسانی به روش‌های انجماد آهسته و شیشه‌ای صورت گرفته است. در پروتکل‌های انجماد آهسته، از غلظت‌های پائین مواد ضدیخ<sup>۲</sup> استفاده می‌شود که با برودتی با سرعت ۰/۳ تا ۰/۰ درجه سانتیگراد در دقیقه همراه است ولی با توجه به کاهش میزان تکامل جنین پس از انجماد آهسته به دلیل تشکیل کریستال‌های یخ داخل و خارج سلولی و همچنین به دلیل نیاز به دستگاه انجماد و صرف وقت جهت این روش انجماد، امروزه تمایل زیادی به استفاده از انجماد شیشه‌ای در حفظ جنین‌های حیوانی و انسانی وجود دارد که اولین بار در سال ۱۹۳۷ توسط Luyet مطرح شد<sup>(۱)</sup> و در آن به علت استفاده از غلظت بالای ضدیخ و کوتاهی زمان آبگیری، آب به سرعت از سلول خارج شده و محیط اطراف سلول به یکباره تبدیل به یخ شیشه‌ای (یخ فاقد کریستال) می‌شود. ضمناً استفاده از انجماد شیشه‌ای قادر به انجماد جنین از گونه‌هایی بوده است که قبل از انجماد جنین‌های آنها میسر نبوده است(مثل خوک)<sup>(۲)</sup>. با این حال تاکنون یک روش پایدار از انجماد شیشه‌ای پایه‌گذاری نشده است که بتواند میزان بالایی از زنده ماندن جنین را نشان دهد. زیرا تاکنون دقیقاً مکانیسم‌های آسیب جنین به دنبال انجماد شیشه‌ای مشخص نشده است<sup>(۳)</sup>. برای تعیین شرایط مناسب برای انجماد جنین ضروری است که مکانیسم‌های آسیب جنین در هر روش تعیین شود. جنین‌ها در معرض انواع متقاوت از آسیب‌ها در طول انجماد هستند. مهمترین آنها، آسیب‌های ناشی از تشکیل یخ داخل سلولی و محلول‌های غلیظ ضدیخ است<sup>(۴)</sup>. در انجماد آهسته جنین‌ها، یخ داخل و خارج سلولی عاملی مهم در

3- Fragmentation

4- Cleavage

5 - TdT- mediated dUTP- biotin nick end labeling

6 - Terminal Deoxynucleotidyl Transferase

1- Cryobiology

2- Cryoprotectant

بلاستوسیست‌های به دست آمده به طور تصادفی به دو گروه تقسیم شدند. ۵۲ عدد از بلاستوسیست به عنوان گروه کنترل به مدت دو ساعت در محیط کشت M16 که بر اساس پروتکل Edashige و همکاران در سال ۱۹۹۹ (۱۴) تهیه شده بود، کشت داده شدند و پس از دو ساعت با روش TUNEL، میزان ایندکس آپوپتوز<sup>۳</sup> که عبارت است از نسبت سلول‌های آپوپتویک به کل سلول‌های بلاستوسیست بر حسب درصد مورد بررسی قرار گرفتند و ۴۳ عدد بلاستوسیست‌های گروه تجربی، بالافاصله پس از فلاش‌شدن به روش انجماد شیشه‌ای منجمد شده و پس از حدود یک ماه مجدداً ذوب و پس از دو ساعت کشت در محیط کشت M16، با روش

TUNEL میزان ایندکس آپوپتوز آنها بررسی شدند. **انجماد شیشه‌ای و ذوب بلاستوسیست‌ها:** بلاستوسیست‌ها پس از دریافت و انکوباسیون در محلول PB1، با روش دو مرحله‌ای که قبلًاً توسط Zhu و همکاران در سال ۱۹۹۳ ارائه گردیده بود (۱۵) به مدت ۵ دقیقه در محلول اتیلن‌گلیکول٪۱۰ (Merck, Germany) قرار داده شده و سپس به مدت ۳۰ ثانیه در محلول EFS40 که عبارت است از محلول PB1، حاوی ۴۰٪ اتیلن‌گلیکول (V/V) و ۱۸٪ فایکل با وزن مولکولی ۷۰۰۰۰ دالتون (Wako, Japan) و ۰/۳ M ساکارز (Pharmacia, Sweden) منتهی و سپس در نیمه‌لیتری ml خواهد بود. فرنسوی بارگیری شدند و انتهای نی‌ها با پنس داغ بسته شد<sup>۴</sup> و پس از آن نی‌ها در بخار نیتروژن به مدت سه دقیقه قرار گرفته و سپس در نیتروژن مایع غوطه‌ور گردید و پس از یک ماه نی‌ها از تانک بیرون آورده شد. پس از قرار دادن به مدت ۱۵ ثانیه در هوا و قرار دادن در آب ۲۵°C به مدت ۸ ثانیه، با دستمال کاغذی نی‌ها خشک گردید و سپس با بریدن انتهای بسته شده نی‌با قیچی استریل، محتویات نی به صورت flushing تخلیه شد. سپس جنین‌ها به محلول

موش و انسان، که در آن تعداد سلول‌ها کم می‌باشد و بنابراین مقادیر کمی از DNA وجود دارد بسیار مفید است (۱۰-۱۲). لذا در مطالعه حاضر نیز از این روش برای بررسی سلول‌های آپوپتویک در بلاستوسیست‌ها استفاده شده است. هدف از مطالعه حاضر این بود که اثرات نامطلوب انجماد به طریق شیشه‌ای شدن را بر روی میزان آپوپتوز در بلاستوسیست‌های موش بررسی نموده و به این ترتیب با شناخت مکانیسم‌های دخیل در آسیب سلولی ناشی از انجماد، در جهت بهبود روش‌های انجماد قدیمی برداشته شود.

## مواد و روشها

**حیوانات و دریافت جنین:** ابتدا موش‌های سوری ماده از نژاد Swiss Albino که سن آنها ۶ تا ۸ هفته بودند از مرکز نگهداری حیوانات دانشگاه علوم پزشکی و خدمات بهداشتی، درمانی تبریز خریداری و سپس به مدت یک هفته در حیوانخانه در درجه حرارت ۲۵°C و در شرایط ۱۲ ساعت تاریکی و ۱۲ ساعت روشنایی نگهداری شدند. سپس به هر یک از موش‌ها به مقدار ۱۰ IU<sup>۱</sup> PMSG و حدود ۴۸ ساعت (Folligon, Holland)<sup>۲</sup> hCG ۱۰ IU<sup>۳</sup> (Oregon, Holland)<sup>۴</sup> بعد طریق داخل صفاقی تزریق شد. سپس موش‌های ماده در مجاورت موش‌های نر به مدت یک شب قرار داده شدند و صبح روز بعد تشکیل پلاک واژینال بررسی گردید و موش‌های پلاک مثبت به عنوان موش‌های حامله تلقی شده و در حدود ۹۸ ساعت پس از تزریق hCG موش‌های حامله به روش جابجایی مهره‌های گردنی خارجی شده و پس از باز کردن شکم بلاستوسیست‌ها با استفاده از محیط کشت PB1<sup>۵</sup> که براساس پروتکل Whittingham در سال ۱۹۷۱ (۱۲) تهیه شده بود به طریق فلاش کردن از شاخ رحم جمع‌آوری شدند.

1- Pregnant Mare Serum Gonadotropine

2- Human Chorionic Gonadotropine

3 - Modified Phosphate-Buffered Saline

در محلول PBS/PVA با فشار کم لامل در یک قطره  $\mu\text{L}$  از محلول Antibleaching (Oregon, USA) بر روی لام مونتاژ گردید و پس از مهر و مووم کردن لبهای لام با لاک ناخن، لام‌ها در زیر میکروسکوپ فلورئورسنت (Olympus, Japan) مورد بررسی قرار گرفت.

**روش‌های آماری:** نسبت سلول‌های آپوپتویک با شمارش سلول‌های TUNEL مثبت به کل هسته‌های بلاستوسیست (هسته‌های PI مثبت) در همان بلاستوسیست بر حسب درصد بعنوان ایندکس آپوپتوز محاسبه گردید و مقایسه میانگین ایندکس آپوپتوزی بر حسب درصد در گروه‌ها با آزمون T و در سطح معنی داری  $0.05\%$  انجام گردید.

## نتایج

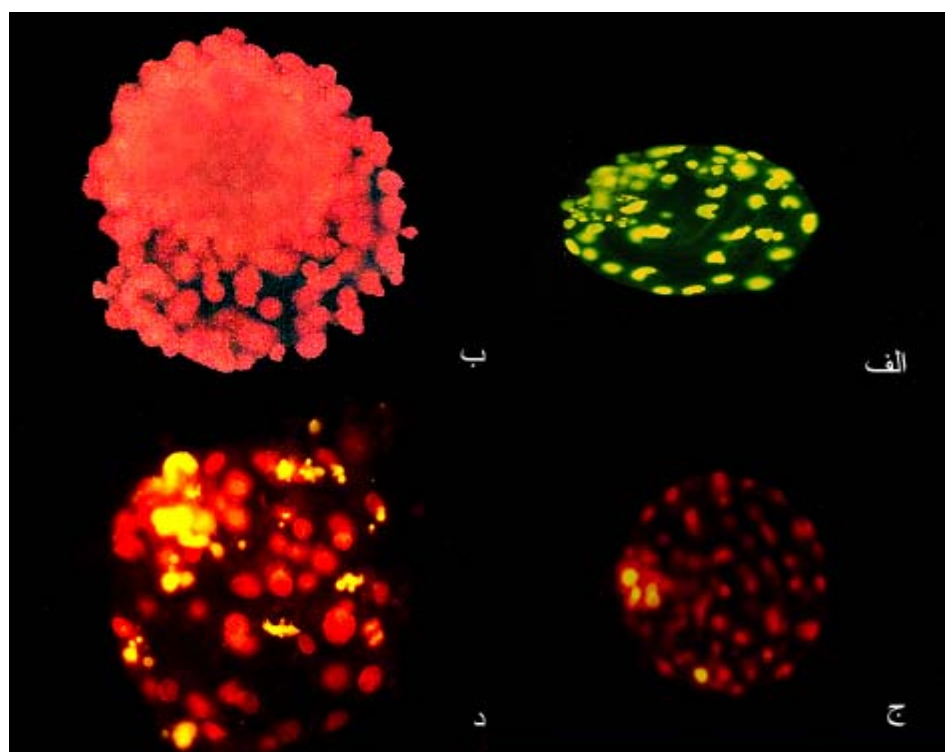
همان طوری که در شکل شماره ۱-الف دیده می‌شود تمام بلاستومرهای جنین‌های کنترل مثبت با تکنیک TUNEL نشانه‌گزاری شدند و حتی قطعات هسته صورت قطعات کوچک زرد رنگی به خوبی قابل مشاهده هستند و هیچ یک از بلاستومرهای جنین‌های کنترل منفی با تکنیک TUNEL نشانه‌گزاری نشدند و فقط با رنگ‌آمیزی زمینه‌ای (PI) به رنگ قرمز رنگ‌آمیزی شدند (شکل شماره ۱-ب). شکل شماره ۱-ج، بلاستوسیستی از گروه کنترل را پس از رنگ‌آمیزی با تکنیک TUNEL نشان می‌دهد، به طوری که در شکل مشاهده می‌شود تعداد چهار سلول آپوپتویک با رنگ سبز مایل به زرد از بقیه سلول‌ها که رنگ PI را گرفته‌اند بخوبی قابل تشخیص می‌باشند.

در بلاستوسیست‌های گروه تجربی که پس از انجاماد و ذوب برای آپوپتوز رنگ‌آمیزی شدند، سلول‌های آپوپتویک با تکنیک TUNEL بخوبی نشان‌دار شدند و کاملاً از سلول‌های غیرآپوپتویک که با رنگ‌آمیزی

تازه سوکروز  $5/0$  مولار به مدت پنج دقیقه قرار داده شد. پس از انتقال و انکوباسیون جنین‌ها در محلول M16 PB1 به منظور به تعادل رسیدن، به محلول کشت منقل گردیده و پس از دو ساعت کشت میزان ایندکس آپوپتوز بررسی گردید.

**رنگ‌آمیزی PI و TUNEL** برای بررسی فراگمنته شدن DNA در بلاستوسیست‌ها طبق روش Brison و همکاران در سال ۱۹۹۷ (۱۶) انجام شد. به طوریکه در ابتدا بلاستوسیست‌ها، پس از شستشو با محلول دالیکو با فسفات (DPBS, PBS/PVA) حاوی  $0.3\%$  پلی‌وینیل الکل (Gibco, wako, Japan)  $3mg/ml$  در محلول پارافرمالدئید  $3.7\%$  در PBS به مدت یک شب در درجه حرارت  $4^{\circ}\text{C}$  ثابت شد. سپس بعد از شستشو با PBS/PVA به مدت  $40$  دقیقه در محلول  $0.1\%$  درصد تریتون X-100 (Sigma, Germany) به منظور افزایش نفوذپذیری زونا پلوسیدا قرار داده شد. بلاستوسیست‌ها پس از شستشو با PBS/PVA در محلول (Wako, Japan) براساس دستورالعمل شرکت سازنده به مدت یک ساعت در حرارت  $37^{\circ}\text{C}$  انکوبه گردید. برای کنترل منفی تعدادی بلاستوسیست فقط در محلول فلورئورسنت به منظور اطمینان از عدم نشانه گذاری بدون آنزیم آنکوبه گردید و برای کنترل مثبت، تعدادی از بلاستوسیست‌ها قبل از آنکوباسیون در محلول TUNEL، در  $50\ \mu\text{g}/ml$  DNase I (Sigma, Germany) به مدت یک ساعت از انکوبه گردید. پس از آنکوباسیون بلاستوسیست‌ها در RNase A ( $50\ \mu\text{g}/ml$ ) به مدت یک ساعت می‌گذرد. در پایان، میکروگرم بر میلی‌لیتر محلول PI (Sigma, Germany) به مدت  $20$  دقیقه، به منظور نشانه‌گذاری همه هسته‌ها رنگ‌آمیزی زمینه‌ای گردید. سپس بلاستوسیست‌ها پس از شستشو

1- Propidium Iodide



شکل ۱- نمای بلاستوسیست موش در زیر میکروسکوپ فلوئورسنت با بزرگنمایی ۳۲۰ برابر: الف- گروه کنترل مثبت، پس از انکوبه شدن با DNase تمام هسته‌ها با روش TUNEL به رنگ روشن نشانه‌گذاری شدند. ب- گروه کنترل منفی، در فقدان TDT، هیچکدام از سلولها با TUNEL نشانه‌گذاری نشدند ولی همه سلولها با PI رنگ شدند. ج- گروه کنترل، سلول‌های آپوپتوتیک (رنگ روشن) به خوبی از سلول‌های غیرآپوپتوتیک (کمرنگ) با روش TUNEL مشخص شده‌اند. د- گروه تجربی، تعداد زیادی سلول‌های آپوپتوتیک به رنگ روشن و شفاف دیده می‌شوند و کاملاً از سلول‌های غیرآپوپتوتیک (کمرنگ) مشخص هستند.

بود در حالیکه این میانگین در بلاستوسیست‌های گروه منجمد شده در حدود  $4/92 \pm 1/42$  بود و اختلاف میانگین بین دو گروه معنی‌دار بود ( $P=0/02$ ). میانگین میزان ایندکس آپوپتوز در بلاستوسیست‌های منجمد شده که پس از ذوب به مدت دو ساعت کشت داده شدند در حدود  $11/87 \pm 4/11$  بود. در صورتیکه میانگین میزان ایندکس آپوپتوز در گروه کنترل (بلاستوسیست‌های منجمد نشده) در حدود  $9/12 \pm 4/83$  بود و تفاوت بین آنها معنی‌دار بود ( $P=0/004$ ).

### بحث

هدف از مطالعه حاضر، بررسی میزان آپوپتوز در بلاستوسیست‌ها پس از انجماد، ذوب و کشت با مشاهده

PI به رنگ قرمز دیده می‌شوند، قابل تشخیص هستند. همانطور که در شکل شماره ۱- د مشاهده می‌شود، فقط تعداد سلول‌های آپوپتوتیک در مقایسه با بلاستوسیست‌های گروه کنترل زیادتر می‌باشند. همانطوری که در جدول ۱ مشاهده می‌شود، نتایج نشان داد میانگین تعداد بلاستومرها در بلاستوسیست‌های گروه کنترل موش  $50/22 \pm 20/9$  بود در حالیکه میانگین تعداد بلاستومرها در بلاستوسیست‌های گروه منجمد شده  $44/91 \pm 16/2$  بود و اختلاف میانگین تعداد بلاستومرها در گروه‌ها تفاوت معنی‌داری را نشان نداد ( $P=0/176$ ).

میانگین تعداد بلاستومرها آپوپتوتیک در بلاستوسیست‌های گروه کنترل در حدود  $4/08 \pm 2/04$  بود

جدول ۱- مقایسه میانگین تعداد بلاستومرها، سلول‌های آپوپتوتیک و میزان ایندکس آپوپتوز در بلاستوسیت‌های موش در گروه کنترل و گروه تجربی

گروهها	متغیر	تعداد بلاستومرها ( $M \pm SD$ )	تعداد سلول‌های آپوپتوتیک ( $M \pm SD$ )	میزان ایندکس آپوپتوز ( $M \pm SD$ )
کنترل ( $n=52$ )		$50/22 \pm 20/9$	$4/0.8 \pm 2/0.4$	$9/12 \pm 4/8.2$
گروه تجربی ( $n=43$ )		$44/91 \pm 16/2$	$4/9.3 \pm 1/4.2$	$11/87 \pm 4/11$
P-Value		$0/176$	$0/0.23$	$0/0.04$

استفاده از رنگ فلئورسنت مورد مطالعه قرار دادند و مشاهده نمودند که وقتی قطعات تخدمان با استفاده از نی‌یا صفحه مشبك<sup>۱</sup> میکروسکوپ الکترونی مستقیماً در نیتروژن مایع غوطه‌ور می‌شوند (انجاماد شیشه‌ای خیلی سریع) تفاوت قابل ملاحظه‌ای در میزان سلول‌های آپوپتوتیک نسبت به گروه کنترل دیده نشد و در مقابل وقتی که نمونه‌ها مشابه مطالعه حاضر ابتدا در بخار نیتروژن مایع ( $-120^{\circ}C$ ) قرار گرفته و سپس در نیتروژن مایع غوطه‌ور شدند (انجاماد شیشه‌ای با سرعت کمتر) تعداد سلول‌های آپوپتوتیک به طور قابل ملاحظه‌ای بعد از ذوب نسبت به گروه کنترل بیشتر بود (۲۰).

در تحقیقی دیگر که در آن برش‌هایی به اندازه  $2mm$  از کورتکس تخدمان به طریق انجاماد آهسته منجمد شدند نشان داد که اگرچه درصد فولیکول‌های با مورفولوژی طبیعی، در گروه منجمد شده، در مقایسه با گروه کنترل، به طور قابل ملاحظه‌ای کمتر بود ولی نتایج با تکنیک TUNEL نشان داد که درصد فولیکول‌های آپوپتوزیس، در قطعات فریز شده نسبت به گروه کنترل، تفاوت مثبت در مطالعه‌ای نداشتند (۲۱) و این نتایج با نتایج تحقیق حاضر همسو نمی‌باشد و علت تفاوت نتایج را می‌توان در تفاوت در پروتکل انجامادی و مرحله تکاملی سلول‌ها توضیح داد، به طوری که در مطالعه اخیر از پروتکلهای انجاماد آهسته استفاده شده در حالیکه در

قطعه قطعه شدن DNA در هسته بلاستومرها با تکنیک TUNEL بود. اگر چه مطالعات اندکی، در مورد اثرات انجاماد و آنهم بر روی تخدمان انجام شده است، ولی هیچگونه مطالعه‌ای در مورد اثرات انجاماد شیشه‌ای بر میزان آپوپتوز در بلاستوسیست موش و حتی گونه‌های دیگر انجام نشده است. در مطالعه حاضر، همان طوری که در نتایج دیده می‌شود، میزان ایندکس آپوپتوز در بلاستوسیست‌های منجمد شده که پس از ذوب به مدت ۲ ساعت کشت داده شدند نسبت به بلاستوسیست‌های منجمد نشده به طور معنی‌داری بیشتر بود ( $p=0.005$ ). به طور مشابهی، در مطالعه‌ای، Yuge و همکاران نشان دادند که سرد کردن تخدمان خوک در درجه حرارت پایین تر از  $25^{\circ}C$  باعث کاهش میزان تکامل اووسیت‌های آسپیره شده به بلاستوسیست پس از IVF و کشت متعاقب آن می‌شود (۱۷)؛ اگرچه نوع آسیب و ارتباط آن با آپوپتوزیس، در این مطالعه مشخص نشد. توسط تعداد دیگری از محققین گزارش شده است که بعضی از فولیکول‌ها در انسان در طول انجاماد آهسته و ذوب دچار آسیب می‌شوند (۱۸)؛ به نظر می‌رسد قسمت اعظم فولیکول‌های بدبوی از نظر مورفولوژیکی بعد از انجاماد و ذوب طبیعی باشند (۱۹). در مطالعه دیگری که توسط Rahimi و همکاران در سال ۲۰۰۳ انجام گردید. محققین اثر پروتکلهای متفاوت انجاماد شیشه‌ای را بر تعداد سلول‌های آپوپتوتیک در بافت تخدمان انسانی با

روی جنین و فقدان ترشحات پاراکرینی مترشحه از لوله‌های رحمی، پایین‌تر از کیفیت بلاستوسیست‌های تولید شده به روش *In vivo* می‌باشد و بنابراین میزان ایندکس آپوپتوز در بلاستوسیست‌های تولید شده به روش *In vitro* بیشتر می‌باشد<sup>(۱۶,۸)</sup>.

نتایج محققین نشان می‌دهد که استفاده از ضدیخ‌های مختلف به تنها یا طی فرآیند انجماد، هرکدام می‌تواند تأثیرات زیادی را بر فرا ساختمان سلول داشته باشد<sup>(۲۳)</sup> و از حساس‌ترین ساختار، نسبت به تغییرات شدید برودتی و حرارتی و یا غلظت‌های مختلف ضدیخ، می‌توان اسکلت سلول، میتوکندری و قشر شفاف را نام برد<sup>(۲۴)</sup> و از آنجایی که بسیاری از فعالیت‌های مهم سلول از جمله جابجایی کروموزوم‌ها طی تقسیم وستیوکنیز وابسته به عناصر اسکلت سلول می‌باشند، هرگونه آشفتگی در آن، می‌تواند تأثیر زیادی بر تکوین و تکامل تخمک و جنین داشته باشد<sup>(۲۴)</sup>. حتی نشان داده شده است که انجماد ممکن است باعث سختی قشر شفاف به دلیل تغییر ماهیت بیوشیمیایی آن شود<sup>(۲۵,۲۶)</sup>. یافته‌های دیگری نیز نشان می‌دهد که انجماد سبب اختلال فعالیت پمپ‌های تنظیم‌کننده pH موجود در غشاء سلولی طی ۶-۴ ساعت اولیه پس از ذوب می‌شود و اختلال فعالیت این پمپ‌ها سبب اختلال PH درون سلولی و در نتیجه کم شدن توانایی حیات سلول‌ها می‌گردد<sup>(۲۵)</sup> و لذا می‌توان گفت که در تجربه حاضر قطعه‌قطعه شدن زیاد DNA در بلاستوسیست‌های منجمد شده می‌تواند هم به دلیل اثر سمیت شیمیایی ضدیخ و هم به دلیل تغییرات شدید حرارتی و برودتی باشد که احتمالاً بر روی بروز ژن‌های مسئول قطعه‌قطعه شدن DNA در جنین مثل *Bax* و *BCl<sub>2</sub>* تأثیر می‌گذارد<sup>(۲۷)</sup>. نتایج بررسی حاضر نشان داد که انجماد شیشه‌ای باعث افزایش میزان آپوپتوزیس در بلاستوسیست‌های موش می‌شود. بنابراین نتایج فوق ارتباطی را ما بین کاهش زنده ماندن

مطالعه حاضر با روش انجماد شیشه‌ای، سلول‌ها منجمد شدند و از آنجایی که در روش انجماد شیشه‌ای، از غلظت‌های بالای ضدیخ استفاده می‌شود (اتیلن گلیکول ۴۰٪) که می‌تواند تاثیرات سوء بر سلول داشته باشد، لذا تفاوت نتایج حاضر با نتایج مطالعات قبلی که با روش انجماد آهسته با استفاده از اتیلن گلیکول ۱۰٪ صورت گرفته، امری واضح و بدیهی بنظر می‌رسد. در ضمن در مطالعه اخیر، اووسیت‌ها در مراحل مختلف تکاملی در تخدمان مورد مطالعه قرار گرفتند؛ در حالیکه در مطالعه حاضر، جنین‌های مرحله بلاستوسیست مورد مطالعه قرار گرفتند و بر اساس گزارش محققین، میزان حساسیت اووسیت و جنین نسبت به انجماد متفاوت است<sup>(۲۲)</sup>.

در تجربه قبلی که اثر ضدیخ‌های مختلف را بر میزان آپوپتوزیس در بلاستوسیست‌های خوک در دانشگاه یاماگوچی ژاپن مورد مطالعه قرار دادیم، نشان دادیم وقتی که بلاستوسیست‌های خوک تولید شده به روش *In vitro* (IVF<sup>۱</sup>, IVC<sup>۲</sup> و IVM<sup>۳</sup>) در معرض مواد ضدیخ مختلف مثل اتیلن گلیکول، گلیسرول و ۲۰ پروپاندیول به مدت ۳۰ دقیقه قرار گرفتند، میزان فرآگمنته شدن DNA در آنها (۹/۱۹ در مورد اتیلن گلیکول) نسبت به گروه کنترل (۶/۱۱) به طور معنی‌داری بیشتر بود (مقاله چاپ نشده). تفاوت در میانگین ایندکس آپوپتوز در تجربه قبلی نسبت به تجربه حاضر می‌تواند به دلیل تفاوت در نوع جنین تحت تجربه، تفاوت در مدت زمان در معرض قرار گرفتن در ماده ضدیخ (۵ دقیقه در مقابل ۵ دقیقه) و بالاخره کیفیت بلاستوسیست باشد که در تجربه قبلی بلاستوسیست به روش *In vitro* تولید شده و براساس گزارش محققین، کیفیت بلاستوسیست‌های تولید شده به روش *In vitro* به دلیل اثرات زیانبار محیط کشت بر

1- *In vitro* Maturation

2- In Vitro Fertilization

3- In Vitro Culture

بهداشتی، درمانی تبریز برای تامین هزینه انجام این مطالعه و آقایان دکتر مسگری، مهندس دادپور که به ترتیب در استفاده از امکانات حیوانخانه مرکز تحقیقات کاربردی دارویی دانشگاه و تهیه عکس‌های میکروسکوپی نهایت همکاری را داشتند، تقدیر و تشکرمند نمایم.

جنین بدنیان انجاماد و افزایش میزان آپوپتوزیس در بلاستومرها نشان می‌دهد. بنابراین هر عاملی که از رشد و تکامل نرمال سلول‌ها جلوگیری کند، زمینه را برای بروز آپوپتوز در آنها فراهم می‌نماید.

### تشکر و قدردانی

از معاونت پژوهشی دانشگاه علوم پزشکی و خدمات

## References

- 1- Kasai M. Cryopreservation of mammalian embryos. *Mol Biotechnol.* 1997;7(2):173-9.
- 2- Dobrinsky J.R., Pursel V.G., Long C.R., Johnson L.A. Birth of piglets after transfer of embryos cryopreserved by cytoskeletal stabilization and vitrification. *Biol Reprod.* 2000;62(3): 564-70.
- 3- Kasai M., Ito K., Edashige K. Morphological appearance of the cryopreserved mouse blastocyst as a tool to identify the type of cryoinjury. *Hum Reprod.* 2002;17(7):1863-74.
- 4- Kasai M., Zhu S.E., Pedro P.B., Nakamura K., Sakurai T., Edashige K. Fracture damage of embryos and its prevention during vitrification and warming. *Cryobiology.* 1996;33(4):459-64.
- 5- Whittingham D.G., Leibo S.P., Mazur P. Survival of mouse embryos frozen to -196°C and -269°C. *Science.* 1972;178:411–414.
- 6- Rall W.F., Fahy G.M. Ice-free cryopreservation of mouse embryos at -196 degrees C by vitrification. *Nature.* 1985;313(6003):573-5.
- 7- Gavrieli Y., Sherman Y., Ben-Sasson S.A. Identification of programmed cell death in situ via specific labeling of nuclear DNA fragmentation. *J Cell Biol.* 1992;119(3):493-501.
- 8- Hardy K. Cell death in the mammalian blastocyst. *Mol Hum Reprod.* 1997;3:919– 92.
- 9- Gavrieli Y., Sherman Y., Ben-Sasson S.A. Identification of programmed cell death in situ via specific labeling of nuclear DNA fragmentation. *J Cell Biol.* 1992;119(3):493-501.
- 10- Yamadori I., Yoshino T., Kondo E., Cao L., Akagi T., Matsuo Y., Minowada J. Comparison of two methods of staining apoptotic cells of transferase and DNA polymerase I reactions. *J leukemia cell lines.* Terminal deoxynucleotidyl Histochem Cytochem. 1998;46(1):85-90.
- 11- Neuber E., Luetjens C.M., Chan A.W., Schatten G.P. Analysis of DNA fragmentation of in vitro cultured bovine blastocysts using TUNEL. *Theriogenology.* 2002;57(9):2193-202.0
- 12-Pampfer S., Vanderheyden I., McCracken J.E., Vesela J., Hertogh R. Increased cell death in rat blastocysts exposed to maternal diabetes in utero and to high glucose or tumor necrosis factor-alpha in vitro. *Development.* 1997;124(23): 4827-36.
- 13- Whittingham D.G. Survival of mouse embryos after freezing and thawing. *Nature.* 1971.10;233(5315):125-6.
- 14- Edashige K., Asano A., An T.Z., Kasai M. Restoration of resistance to osmotic swelling of vitrified mouse embryos by short-term culture. *Cryobiology.* 1999;38(4):273-80.
- 15- Zhu S.E., Kasai M., Otoge H., Sakurai T., Machida T. Cryopreservation of expanded mouse blastocysts by vitrification in ethylene glycol-based solutions. *J Reprod Fertil.* 1993;98(1): 139-45.
- 16- Brison DR, Schultz RM. Apoptosis during mouse blastocyst formation: evidence for a role for survival factors including transforming growth factor alpha. *Biol Reprod* 1997;56:1088-1096.
- 17- Yuge M, Otoi T, Nii M, Murakami M, Karja NW, Rajaei F, Agung B, wongsrikeao P, Murakami M, Suzuki T. Effects of cooling ovaries before oocyte aspiration on meiotic competence of porcine oocytes and of exposing in vitro matured oocytes to ambient temperature on in vitro fertilization and development of the oocytes. *Cryobiology.* 2003 Oct;47(2):102-8.
- 18-Munne s, alikani M, Tomkin G, Grifo J, Cohen J. Embryo morphology, developmental rates, and maternal age are correlated with chromosome abnormalities. *Fertil Steril.* 1995;64(2):382-91.

- 19- Hovatta O. Cryopreservation and culture of human primordial and primary ovarian follicles. *Mol Cell Endocrinol.* 2000;169(1-2):95-7.
- 20-Rahimi G., Isachenko E., Sauer H., Isachenko V., Wartenberg M., Hescheler J., Mallmann P. Nawroth F Effect of different vitrification protocols for human ovarian tissue on reactive oxygen species and apoptosis. *Reprod Fertil Dev.* 2003;15(6):343-9.
- 21- Demirei B, Salle B, Frappart L, Franck M, Guerin JF, Lornage J. Morphological alterations and DNA fragmentation in oocytes from primordial and primary follicles after freezing-thawing of ovarian cortex in sheep. *Fertil Steril.* 2003;77(3):595-600.
- 22- Niemann H., Lucas- Hahn A., Stoffregen C. Cryopreservation of bovine oocytes and embryos following microsurgical operations. *Mol Reprod Dev.* 1993;36(2):232-5.
- 23- Bernard A., Fuller B.J. Cryopreservation of human oocytes: a review of current problems and perspectives. *Hum Reprod Update.* 1996;2(3): 193-207.
- 24- Kola I., Kirby C., Shaw J., Davey A., Trounson A. Vitrification of mouse oocytes results in aneuploid zygotes and malformed fetuses. *Teratology.* 1988;38(5):467-74.
- 25- Vincent C, Johnson MH. Cooling, cryoprotectants, and the cytoskeleton of the mammalian oocyte. *Oxf Rev Reprod Biol.* 1992; 14:73-100.
- 26- Lane M., Lyons E.A., Bavister B.D. Cryopreservation reduces the ability of hamster 2-cell embryos to regulate intracellular pH. *Hum Reprod* 2000;15(2):389-94.
- 27- Yang M.Y., Rajamahendran R. Expression of Bcl-2 and Bax proteins in relation to quality of bovine oocytes and embryos produced in vitro. *Anim Reprod Sci.* 2002;70(3-4):159-69.